

一类简化 Lang-Kobayashi 方程的 Hopf 分岔及其稳定性^{*}

王作雷[†]

(江苏大学理学院, 镇江 212013)

(2007 年 11 月 27 日收到, 2008 年 4 月 17 日收到修改稿)

讨论了一类简化 Lang-Kobayashi 方程的 Hopf 分岔的性质. 根据分岔理论, 给出了系统产生 Hopf 分岔的临界时滞条件, 然后利用中心流形定理和规范型理论得到了确定 Hopf 分岔方向和分岔周期解的稳定性计算公式. 最后, 用数值模拟对理论结果进行了验证.

关键词: Lang-Kobayashi 方程, 时滞, Hopf 分岔, 稳定性

PACC: 0547, 0320

1. 引 言

在实际工程中, 许多动力系统的状态变量之间存在着不可避免的时间延迟, 所以其数学模型和运动方程用含时滞的微分方程来描述^[1-3]. 而在非线性光学中, 由于延迟反馈下的半导体激光器在混沌通信、激光打印、高密度光盘存储系统等方面有着十分广泛的应用, 因此它一直是国内外的热门研究课题^[4-14]. 20 世纪 80 年代初, Lang 和 Kobayashi^[4]在半导体激光器系统中首次考虑了光学反馈, 并建立了著名的 Lang-Kobayashi (LK) 方程. 从那时起, 许多学者对该模型的动力学行为进行了卓有成效的分析, 如: 文献 [9] 揭示了其多模态构成的混沌运动现象, 文献 [10] 讨论了外腔反馈对半导体激光器振荡特性的影响. 近年来, 许多学者对简化的 LK 模型进行了分析^[11-14], 如文献 [11] 用常微分方程来代替 LK 模型讨论了低频振荡 (LFF) 和稳态解之间的关系. Pieroux 等^[13, 14]将 LK 模型简化为一个复变量时滞方程, 并分析了 LFF、概周期等动力学现象.

对于时滞系统而言, 由于其相空间是无限维的, 所以很难在理论上作进一步的分析, 已有的大部分成果都是将时滞取定为一个常数进行分析^[15]. 文献

[16, 17] 指出: 时滞在时滞系统中有着“开关”的作用, 它不仅影响系统的稳定性, 还可导致复杂现象, 但其对系统动力学行为的影响机理还不完全清楚. 本文基于这样的背景, 以时滞为参数对一类简化的 LK 模型进行分析, 讨论了系统的 Hopf 分岔的性质, 最后用数值模拟对结果进行了验证.

2. 数学模型及 Hopf 分岔条件

本文考虑如下无量纲形式的简化 LK 系统^[13]:

$$\frac{dE}{dt} = (1 + i\alpha)(p - |E|^2)E + \eta E(t - \tau), \quad (1)$$

其中 E 为复电场, α 为线宽增强因子, p 为电抽运项, τ 为时滞量(外腔反馈时间), η 为反馈强度. 在 (1) 式中引入变换

$$E = x + iy$$

后可得

$$\begin{aligned} \dot{x} &= (x - \alpha y)(p - x^2 - y^2) \\ &\quad + \eta(x(t - \tau)), \\ \dot{y} &= (\alpha x + y)(p - x^2 - y^2) \\ &\quad + \eta(y(t - \tau)). \end{aligned} \quad (2)$$

(2) 式在平衡点 $(0, 0)$ 处的特征方程为

$$(\lambda - p)^2 - 2\eta(\lambda - p)e^{-\lambda\tau} + \eta^2 e^{-2\lambda\tau} + (\alpha p)^2 = 0. \quad (3)$$

^{*} 国家自然科学基金(批准号: 10602020)资助的课题.

[†] E-mail: wangzuolei1971@163.com

令

$$\begin{aligned} \lambda &= iv \quad (v > 0), \\ q &= ap, \end{aligned}$$

代入(3)式得

$$\begin{aligned} \cos(v\tau) &= \frac{a_1 v^2 + a_2}{v^4 + a_3 v^2 + a_4}, \\ \sin(v\tau) &= \frac{a_5 v^3 + a_6 v}{v^4 + a_3 v^2 + a_4}, \end{aligned} \tag{4}$$

其中

$$\begin{aligned} a_1 &= 2\eta p, \\ a_2 &= 2\eta(p^2 + q^2 - \eta^2), \\ a_3 &= 2(p^2 - q^2), \\ a_4 &= (p^2 + q^2)^2 - \eta^4, \\ a_5 &= 2\eta, \\ a_6 &= 2\eta(p^2 - q^2 - \eta^2). \end{aligned}$$

消去(4)式中的 τ 可得

$$\omega^4 + b_3 \omega^3 + b_2 \omega^2 + b_1 \omega + b_0 = 0, \tag{5}$$

其中

$$\begin{aligned} \omega &= v^2, \\ b_3 &= 2a_3 - a_5^2, \\ b_2 &= 2a_4 + a_3^2 - 2a_5 a_6 - a_1^2, \\ b_1 &= 2a_4 a_3 - 2a_1 a_2 - a_6^2, \\ b_0 &= a_4^2 - a_2^2. \end{aligned}$$

显然,当 $b_0 < 0$ 时(5)式至少有一个正实根.不妨设

(5)式有 4 个正实根,记作

$$v_i = \sqrt{\omega_i} \quad (i = 1, 2, 3, 4),$$

则由(4)式可得

$$\tau_i^j = \begin{cases} \frac{1}{v_i} \left\{ 2j\pi + \arccos\left(\frac{a_1 v_i^2 + a_2}{v_i^4 + a_3 v_i^2 + a_4}\right) \right\} \\ \quad (a_1 v_i^2 + a_2 > 0), \\ \frac{1}{v_i} \left\{ (2j + 2)\pi - \arccos\left(\frac{a_1 v_i^2 + a_2}{v_i^4 + a_3 v_i^2 + a_4}\right) \right\} \\ \quad (a_1 v_i^2 + a_2 < 0), \end{cases} \tag{6}$$

其中 $i = 1, 2, 3, 4; j = 0, 1, 2, \dots$. 记

$$\tau_0 = \tau_{i_0}^0 = \min_{i \in \{1, 2, 3, 4\}} \{\tau_i^0\}, \tag{7}$$

$$v_0 = v_{i_0}.$$

在(3)式两边同时乘以 $e^{\lambda\tau}$, λ 对 τ 求导得

$$\left(\frac{d\lambda}{d\tau}\right)^{-1} = \frac{-\eta + (\lambda - p)e^{\lambda\tau}}{\eta\lambda(\lambda - p) - [(\lambda - p)^2 + q^2]\lambda e^{\lambda\tau}} - \frac{\tau}{\lambda}. \tag{8}$$

将 $\lambda = iv_0, \tau = \tau_0$ 代入(8)式得

$$\left(\frac{d\lambda}{d\tau}\right)^{-1} \Big|_{\lambda=iv_0, \tau=\tau_0} = \frac{c_1 + ic_2}{c_3 + ic_4} - \frac{\tau_0}{iv_0}, \tag{9}$$

其中

$$\begin{aligned} c_1 &= -\eta - p\cos(v_0\tau_0) - v_0\sin(v_0\tau_0), \\ c_2 &= v_0\cos(v_0\tau_0) - p\sin(v_0\tau_0), \\ c_3 &= -\eta v_0^2 - (p^2 + q^2 - v_0^2)v_0\sin(v_0\tau_0) \\ &\quad + 2v_0^2 p\cos(v_0\tau_0), \\ c_4 &= \eta p v_0 + (p^2 + q^2 - v_0^2)v_0\cos(v_0\tau_0) \\ &\quad + 2v_0^2 p\sin(v_0\tau_0). \end{aligned} \tag{10}$$

显然,当 $c_1 c_3 + c_2 c_4 > 0$ 时,系统可能发生 Hopf 分岔.根据 τ_0 的定义以及 Hopf 分岔理论很容易得到定理 1.

定理 1 对于(1)式,若 $b_0 < 0, \eta + p < 0$ 和 $c_1 c_3 + c_2 c_4 > 0$ 都满足,则 $\tau \in (0, \tau_0)$ 时平衡点 $(0, 0)$ 是渐进稳定的,而在 $\tau = \tau_0$ 处将发生 Hopf 分岔.

3. Hopf 分岔方向和 Hopf 分岔周期解的稳定性

在定理 1 的条件下,系统在 τ_0 处发生 Hopf 分岔.下面将用中心流形定理和规范型理论^[18]来讨论系统的非线性项对 Hopf 分岔的方向及其稳定性的影响.

引入时间变换 $t \rightarrow (t/\tau)$,变换后的时间仍用 t 来表示,则(2)式可写成

$$\begin{aligned} \dot{x} &= \tau(x - ay) \chi(p - x^2 - y^2) \\ &\quad + \tau\eta\chi(t - 1), \\ \dot{y} &= \tau(ax + y) \chi(p - x^2 - y^2) \\ &\quad + \tau\eta\chi(t - 1). \end{aligned} \tag{11}$$

平衡点 $(0, 0)$ 处的线性化方程为

$$\begin{aligned} \dot{x} &= \tau\eta(x - ay) + \tau\eta\chi(t - 1), \\ \dot{y} &= \tau\eta(ax + y) + \tau\eta\chi(t - 1). \end{aligned} \tag{12}$$

非线性项记作

$$f = \begin{pmatrix} \tau(x - ay) \chi(x^2 + y^2) \\ \tau(ax + y) \chi(x^2 + y^2) \end{pmatrix}, \tag{13}$$

相应的特征方程为

$$(\lambda - \tau p - \tau\eta e^{-\lambda})^2 + (\tau q)^2 = 0, \tag{14}$$

其中 $q = ap$. 令 $\tau = \tau_0 + \mu, \mu \in R$, 则 $\mu = 0$ 是(11)式的 Hopf 分岔参数.

记 $\mathcal{C}([-1, \rho], R^2)$ 为 $[-1, \rho]$ 上二维连续函数构成的 Banach 空间,其范数定义为

$$\|\phi\| = \sup_{\theta \in [-\tau, 0]} |\phi(\theta)|,$$

其中 $|\cdot|$ 为 R^n 中的任意范数. 令

$$L_\mu \varphi = \begin{pmatrix} (\tau_0 + \mu)p & -(\tau_0 + \mu)q \\ (\tau_0 + \mu)q & (\tau_0 + \mu)p \end{pmatrix} \varphi(0) + \begin{pmatrix} (\tau_0 + \mu)p & 0 \\ 0 & (\tau_0 + \mu)\eta \end{pmatrix} \varphi(-1), \quad (15)$$

$$\mathcal{K}(\mu, \varphi) = \begin{pmatrix} (\tau_0 + \mu)\xi \varphi_1 - \alpha\varphi_2 \xi \varphi_1^2 + \varphi_2^2 \\ (\tau_0 + \mu)\xi \varphi_2 + \alpha\varphi_1 \xi \varphi_1^2 + \varphi_2^2 \end{pmatrix}. \quad (16)$$

根据 Riesz 表示定理, 存在分量为有界变差函数的二阶矩阵 $\xi(\theta, \mu)$, 使对任意 $\theta \in [-1, 0]$ 有

$$L_\mu \varphi = \int_{-1}^0 d\xi(\theta, \mu) \varphi(\theta), \quad (17)$$

其中 $\varphi(\theta) = (\varphi_1(\theta), \varphi_2(\theta))^T \in C([-1, 0], R^2)$, 实际上, 只要取

$$\xi(\theta, \mu) = (\tau_0 + \mu) \begin{pmatrix} p & -q \\ q & p \end{pmatrix} \delta(\theta) + (\tau_0 + \mu) \begin{pmatrix} 1 & 0 \\ 0 & 1 \end{pmatrix} \delta(\theta + 1), \quad (18)$$

即满足 (17) 式. 这里

$$\delta(\theta) = \begin{cases} 1 & (\theta = 0), \\ 0 & (\theta \neq 0). \end{cases}$$

对 $\varphi \in C^1([-1, 0], R^2)$, 定义

$$A(\mu)\varphi = \begin{cases} \frac{d\varphi(\theta)}{d\theta} & (\theta \in [-1, 0)), \\ \int_{-1}^0 d\xi(\theta, \mu)\varphi(\theta) & (\theta = 0), \end{cases} \quad (19)$$

$$R(\mu)\varphi = \begin{cases} \begin{pmatrix} 0 \\ 0 \end{pmatrix} & (\theta \in [-1, 0)), \\ \mathcal{K}(\mu, \varphi) & (\theta = 0). \end{cases} \quad (20)$$

将 (11) 式写成如下形式:

$$\dot{u}_t = A(\mu)u_t + R(\mu)u_t. \quad (21)$$

这里 $u = (x, y)^T$, $u_t = u(t + \theta \chi, -1 \leq \theta \leq 0)$. 在 $(A^* \psi, \varphi) = (\psi, A\varphi)$ 的意义下, A 的形式伴随算子 A^* 定义为

$$A^*(\mu)\psi(s) = \begin{cases} \frac{-d\psi(s)}{ds} & (s \in (0, 1]), \\ \int_{-1}^0 d\xi^T(s, \mu)\psi(-s) & (s = 0), \end{cases} \quad (22)$$

其中 $\psi \in C^* \equiv C([0, 1], R^{2*})$, R^{2*} 为二维行向量构成的向量空间.

算子 A 和 A^* 的域分别为 $C^1[-1, 0]$ 和

$C^1[0, 1]$ 对于 $\varphi \in C([-1, 0], R^2)$ 和 $\psi \in C([0, 1], R^{2*})$, 定义双线性积为

$$\psi, \varphi = \bar{\psi}(0)\varphi(0) - \int_{-1}^0 \int_0^\theta \bar{\psi}(\zeta - \theta) d\xi(\theta) \varphi(\zeta) d\zeta, \quad (23)$$

其中

$$\xi(\theta) = \xi(\theta, 0).$$

当 (14) 式有一对纯虚特征根时, 将存在一个二维中心流形 M 的状态空间 C , 在其上的流能很好刻画非线性方程解的长时间行为, 并存在空间 C 的直和解 $C = P \oplus Q$, 其中 P 是由算子 A 的一对纯虚特征根所对应的特征向量张成的一个二维子空间, Q 为 P 的补空间. Q 和 P 都是 (11) 式的线性部分的流的不变子空间.

用 $\chi(\theta)$ 和 $\gamma^*(s)$ 分别代表 A 和 A^* 相应于特征值 $i\tau_0 v_0$ 和 $-i\tau_0 v_0$ 的特征向量. 经过计算可知

$$\chi(\theta) = (1, i)^T e^{i\tau_0 v_0 \theta},$$

$$\gamma^*(s) = D(-i, 1)^T e^{i\tau_0 v_0 s},$$

其中 $\gamma^*, \gamma = 1, \bar{\gamma}^*, \bar{\gamma} = 0, D = (2 + 2\tau_0 \eta e^{i\tau_0 v_0})^{-1}$. 据此可以计算上述的中心流形 M . 令 u_t 是 (11) 式在 $\mu = 0$ 的解, 定义

$$z(t) = \gamma^* u_t,$$

$$u(t, \theta) = u_t(\theta) - 2\text{Re}\{z(t)\chi(\theta)\},$$

在中心流形 M 上可得

$$u(t, \theta) = u(z(t), \bar{z}(t), \theta), \quad (24)$$

其中

$$u(z(t), \bar{z}(t), \theta) = w_{20}(\theta) \frac{z^2}{2} + w_{11}(\theta) z\bar{z} + w_{02}(\theta) \frac{\bar{z}^2}{2} + \dots \quad (25)$$

$z(t)$ 对 t 求导可得

$$\dot{z}(t) = i\tau_0 v_0 z(t) + g(z, \bar{z}), \quad (26)$$

其中

$$g(z, \bar{z}) = g_{20} \frac{z^2}{2} + g_{11} z\bar{z} + g_{02} \frac{\bar{z}^2}{2} + g_{21} \frac{z^2 \bar{z}}{2} + \dots \quad (27)$$

将 (21) 和 (26) 式代入 $\dot{w} = \dot{u}_t - \dot{z}\gamma - \dot{\bar{z}}\bar{\gamma}$ 可得

$$\dot{w} = Aw + H(z, \bar{z}, \theta) = \begin{cases} Aw - 2\text{Re}\{\bar{\gamma}^*(0)(z, \bar{z})(\theta)\} & (\theta \in [-1, 0)), \\ Aw - 2\text{Re}\{\bar{\gamma}^*(0)(z, \bar{z})(\theta)\} + f & (\theta = 0), \end{cases} \quad (28)$$

其中

$$H(z, \bar{z}, \theta) = H_{20}(\theta) \frac{z^2}{2} + H_{11}(\theta) z\bar{z} + H_{02}(\theta) \frac{\bar{z}^2}{2} + \dots \quad (29)$$

在 (25) 式中, w 对 t 求导得

$$\dot{w} = w_z \dot{z} + w_{\bar{z}} \dot{\bar{z}}. \quad (30)$$

将 (25) 和 (26) 式代入 (30) 式得

$$\dot{w} = (w_{20}z + w_{11}\bar{z} + \dots) i\tau_0 v_0 z + g + (w_{11}z + w_{02}\bar{z} + \dots) (-i\tau_0 v_0 \bar{z} + \bar{g}). \quad (31)$$

将 (25) 和 (29) 式代入 (28) 式得

$$\dot{w} = (Aw_{20} + H_{20}) \frac{z^2}{2} + (Aw_{11} + H_{11}) z\bar{z} + (Aw_{02} + H_{02}) \frac{\bar{z}^2}{2} + \dots \quad (32)$$

比较 (31) 和 (32) 式的系数可得

$$(A - 2i\tau_0 v_0)w_{20}(\theta) = -H_{20}(\theta), \quad (33)$$

$$Aw_{11}(\theta) = -H_{11}(\theta). \quad (34)$$

由 $\dot{w} = \dot{w}_t - \dot{z}\gamma - \dot{\bar{z}}\bar{\gamma}$ 和 $\dot{w} = Aw + H(z, \bar{z}, \theta)$ 可得

$$\begin{aligned} H(z, \bar{z}, \theta) &= -g\chi(\theta) - \bar{g}\bar{\gamma}(\theta) + Ru_t \\ &= -\left(g_{20} \frac{z^2}{2} + g_{11} z\bar{z} + g_{02} \frac{\bar{z}^2}{2} + \dots\right) \chi(\theta) \\ &\quad - \left(\bar{g}_{20} \frac{\bar{z}^2}{2} + \bar{g}_{11} z\bar{z} + \bar{g}_{02} \frac{z^2}{2} + \dots\right) \bar{\gamma}(\theta) \\ &\quad + Ru_t. \end{aligned} \quad (35)$$

比较 (29) 和 (35) 式的系数得

$$H_{20}(\theta) = -g_{20}\chi(\theta) - \bar{g}_{02}\bar{\gamma}(\theta) \quad (1 \leq \theta < 0), \quad (36)$$

$$H_{11}(\theta) = -g_{11}\chi(\theta) - \bar{g}_{11}\bar{\gamma}(\theta) \quad (1 \leq \theta < 0). \quad (37)$$

将 (36) 和 (37) 式代入 (33) 和 (34) 式得

$$\dot{w}_{20}(\theta) = 2i\tau_0 v_0 w_{20}(\theta) + g_{20}\chi(\theta) + \bar{g}_{02}\bar{\gamma}(\theta), \quad (38)$$

$$\dot{w}_{11}(\theta) = g_{11}\chi(\theta) + \bar{g}_{11}\bar{\gamma}(\theta). \quad (39)$$

已知

$$\begin{aligned} \gamma^*(0) &= D(-i, 1)^T, \\ \chi(t) &= iz - i\bar{z} + w^{(1)}(z, \bar{z}, t), \\ \gamma(t) &= z + \bar{z} + w^{(2)}(z, \bar{z}, t), \\ \chi(t-1) &= iz e^{-i\tau_0 v_0} - i\bar{z} e^{-i\tau_0 v_0} \end{aligned}$$

$$+ w^{(1)}(z, \bar{z} - 1),$$

$$\begin{aligned} \gamma(t-1) &= z e^{-i\tau_0 v_0} + \bar{z} e^{-i\tau_0 v_0} \\ &\quad + w^{(2)}(z, \bar{z}, -1), \end{aligned} \quad (40)$$

其中

$$\begin{aligned} w^{(j)}(z, \bar{z}, t) &= w_{20}^{(j)}(0) \frac{z^2}{2} + w_{11}^{(j)}(0) z\bar{z} \\ &\quad + w_{02}^{(j)}(0) \frac{\bar{z}^2}{2} + \dots, \\ w^{(j)}(z, \bar{z}, -1) &= w_{20}^{(j)}(-1) \frac{z^2}{2} + w_{11}^{(j)}(-1) z\bar{z} \\ &\quad + w_{02}^{(j)}(-1) \frac{\bar{z}^2}{2} + \dots \quad (j = 1, 2). \end{aligned}$$

根据 (38)–(40) 式可得

$$\begin{aligned} g_{20} &= g_{21} = 0, \\ g_{02} &= -\tau_0 \chi(\alpha + i)\bar{D}, \\ g_{21} &= -\tau_0 3\chi(\alpha - i)\bar{D}. \end{aligned} \quad (41)$$

由 (41) 式可以计算下列公式:

$$\begin{aligned} C_1(0) &= \frac{i}{2\tau_0 v_0} \left(g_{20} g_{11} - 2|g_{11}|^2 - \frac{1}{3}|g_{02}|^2 \right) \\ &\quad + \frac{1}{2} g_{21}. \end{aligned} \quad (42)$$

记

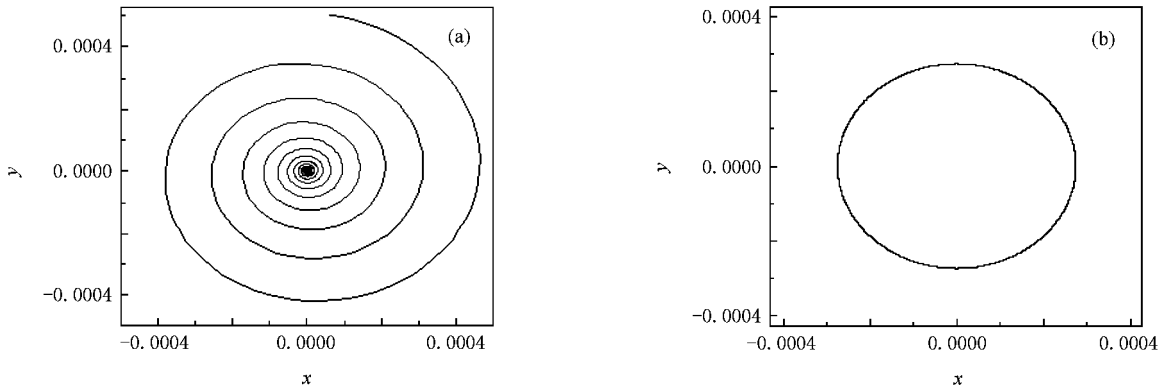
$$\begin{aligned} \beta_2 &= 2\text{Re}(C_1(0)), \\ \mu_2 &= -\frac{\text{Re}(C_1(0))}{\text{Re}\left(\frac{d\lambda}{d\tau}\right)_{\tau=\tau_0}}. \end{aligned} \quad (43)$$

由文献 [18] 中的一般性定理可知, μ_2 确定分岔方向, β_2 确定分岔周期解的稳定性, 故可得定理 2.

定理 2 在定理 1 的条件下, $\mu = 0$ 是系统 (1) 的 Hopf 分岔值, Hopf 分岔的分岔方向由 μ_2 的符号确定, 当 $\mu_2 > 0$ 时, Hopf 分岔是超临界的, 当 $\mu_2 < 0$ 时, Hopf 分岔是亚临界的; Hopf 分岔周期解的稳定性由 β_2 的符号确定, 当 $\beta_2 > 0$ 时, Hopf 分岔是不稳定的, 当 $\beta_2 < 0$ 时, Hopf 分岔是稳定的.

4. 数值模拟

当系统参数分别为 $\eta = 3.0$, $p = -3.001$, $\alpha = 2.0$ 时, 可得 $\tau_0 = 1.043214$, 分别取 $\tau = 0.8$ 和 $\tau = 1.052$, 在图 1 中给出了系统 (1) 的相图. 借助符号软件 Maple 编程, 利用 (43) 式可以计算出 $\beta_2 = -10.13012$, $\mu_2 = 0.92150$. 从而可知相应的 Hopf 分岔是超临界的, 分岔周期解稳定. 这与定理 2 相符.

图 1 系统(1)的相图 (a) $\tau = 0.8$, (b) $\tau = 1.052$

5. 结 论

本文讨论了一类简化 LK 方程 Hopf 分岔的性质. 用时滞作为分岔参数, 得到了系统可能产生 Hopf 分岔的时滞临界表达式, 当参数值超过临界值时, 零平衡点失稳而分岔出一个周期轨, 并用中心流形定理和规范型理论给出了确定 Hopf 分岔方向和

分岔周期解的稳定性计算公式. 最后, 用数值模拟对理论结果进行了验证. 这些结果表明: 外腔反馈时间可导致系统产生周期振荡, 且周期解的性质由系统的非线性项确定, 因此可以通过调节时滞和非线性因素来对激光系统进行控制. 另外, 外腔反馈时间作为控制参数, 可以使系统表现为复杂的动力学行为, 如概周期振荡、混沌等现象, 相应的现象和机理有待于进一步的研究.

- [1] Liao X F, Li S W, Wong K W 2003 *Nonlin. Dyn.* **31** 299
- [2] Qian C Z, Tang J S 2006 *Acta Phys. Sin.* **55** 617 (in Chinese)
[钱长照、唐驾时 2006 物理学报 **55** 617]
- [3] Wang Z S, Zhang H G 2006 *Acta Phys. Sin.* **55** 5674 (in Chinese)
[王占山、张化光 2006 物理学报 **55** 5674]
- [4] Lang R, Kobayashi K 1980 *IEEE J. Quantum Electron.* **16** 347
- [5] Liao J F, Xia G Q, Wu J G, Xu L, Wu Z M 2007 *Acta Phys. Sin.* **56** 6301 (in Chinese) [廖健飞、夏光琼、吴加贵、许黎、吴正茂 2007 物理学报 **56** 6301]
- [6] Wang Y C, Li Y L, Wang A B, Wang B J, Zhang G W, Guo P 2007 *Acta Phys. Sin.* **56** 4686 (in Chinese) [王云才、李艳丽、王安帮、王冰洁、张耕玮、郭萍 2007 物理学报 **56** 4686]
- [7] Jia X H, Wu Z M, Lin X D, Bai X, Xia G Q 2005 *Acta Phys. Sin.* **54** 3680 (in Chinese) [贾新鸿、吴正茂、林晓东、柏熙、夏光琼 2005 物理学报 **54** 3680]
- [8] Haegeman B, Engelborghs K, Roose D, Pieroux D, Erneux T 2002 *Phys. Rev. E* **66** 046216
- [9] Bauer S, Brox O, Kreissl J, Bauer S, Sartorius B, Radziunas M, Sieber J, Wünsche H, Henneberger F 2004 *Phys. Rev. E* **69** 016206
- [10] Liu C, Ge J H, Chen J 2006 *Acta Phys. Sin.* **55** 5211 (in Chinese) [刘崇、葛剑虹、陈军 2006 物理学报 **55** 5211]
- [11] Huyet G, Porta P, Hegarty S, McInerney J, Holland F 2000 *Opt. Commun.* **180** 339
- [12] Prasad A, Lai Y, Gavrielides A, Kovanis V 2001 *J. Opt. B* **3** 242
- [13] Pieroux D, Mandel P 2003 *Phys. Rev. E* **67** 056213
- [14] Pieroux D, Mandel P 2003 *Phys. Rev. E* **67** 036204
- [15] Ma J, Jin W Y, Li Y L, Chen Y 2007 *Acta Phys. Sin.* **56** 2456 (in Chinese) [马军、靳伍银、李延龙、陈勇 2007 物理学报 **56** 2456]
- [16] Xu J, Chung K W 2003 *Physica D* **180** 17
- [17] Xu J, Lu Q S 1999 *Int. J. Bifur. Chaos* **9** 939
- [18] Hassard B D, Kazarinoff N D, Wan Y H 1981 *Theory and Applications of Hopf Bifurcation* (London: Cambridge University Press) p87

Stability and Hopf bifurcation of the simplified Lang-Kobayashi equation^{*}

Wang Zuo-Lei[†]

(Faculty of Science , Jiangsu University , Zhenjiang 212013 , China)

(Received 27 November 2007 ; revised manuscript received 17 April 2008)

Abstract

Stability and Hopf bifurcation of the simplified Lang-Kobayashi equation is considered. The critical time delay associated with Hopf bifurcation of the zero equilibrium is determined by applying the bifurcation theorem. A formula for determining the direction of the Hopf bifurcation and the stability of bifurcating periodic solutions is given by using the normal form method and center manifold theorem. Finally , numerical simulations are performed to verify the analytical prediction.

Keywords : Lang-Kobayashi equation , time delay , Hopf bifurcation , stability

PACC : 0547 , 0320

^{*} Project supported by the National Natural Science Foundation of China (Grant No. 10602020).

[†] E-mail : wangzuolei1971@163.com